К ВОПРОСУ О ПРЕДЕЛЬНЫХ СВОЙСТВАХ многокаскалного полосового усилителя

Е. И. ФИАЛКО

Постановка задачи

В некоторых случаях необходимо знать не только амплитудно-частотную характеристику радиоустройства, но и его фазо-частотную характеристику (как, например, при анализе искажений импульсных сигналов в радиофильтрах). В ряде случаев вообще представляет интерес только фазо-частотная характеристика (например, в некоторых фазометрических устройствах).

Имеется несколько методов построения фазо-частотных характеристик. Как известно, между амплитудно-частотной и фазо-частотной характетистиками $(K(\omega))$ и $\varphi(\omega)$) существует вполне определенная зависимость [1]:

$$\int_{0}^{\infty} \frac{K(\omega)}{\omega} \cdot \cos[\omega t - \varphi(\omega)] dt = 0.1$$
 (1)

Поэтому, зная $K(\omega)$, можем, вообще говоря, найти $\varphi(\omega)$. Этот метод отыскания фазо-частотной характеристики был реализован А. П. Белоусовым [2] для случая, когда амплитудно-частотная характеристика системы описывается вероятностной (гауссовой) кривой; было показано, что фазочастотная характеристика является прямой линией, перпендикулярной к оси частот. Как известно, вероятностная кривая является предельной формой амплитудно-частотной характеристики многокаскадного резонансного усилителя [3].

В настоящей работе рассматривается другой предельный случай—многокаскадный полосовой усилитель с бесконечно большим числом каскадов.

Мы ограничимся двумя частными задачами: найдем предельную форму фазо-частотной характеристики многокаскадного полосового усилителя, построенного на одинаковых двухконтурных фильтрах при весьма слабой и оптимальной связи между контурами фильтров (причем, контуры, входящие в фильтр, настроены на одну частоту и обладают одинаковыми затуханиями. В дальнейшем такие контуры будем называть одинаковыми). Так как решение интегрального уравнения (1) весьма громоздко, воспользуемся более простым способом построения фазо-частотной характеристики, изложенным ниже.

Фазо-частотная характеристика полосового каскада многокаскадного полосового усилителя

Фазо-частотная характеристика полосового каскада с двумя связанными одинаковыми контурами выражается зависимостью [3;4]:

$$\varphi = \operatorname{arctg} \frac{1 - x^2 + \eta^2}{2x},\tag{2}$$

¹⁾ Это интегральное уравнение справедливо для случая отсутствия постоянной составляющей тока в установившемся режиме.

x — обобщенная расстройка контуров фильтра,

 п — относительный коэффициент связи между контурами фильтра;

$$x = \frac{\Delta f}{\Delta F_0} \left(1 + \frac{f_0}{f} \right), \tag{3}$$

 $\Delta f = f - f_0$ — абсолютная расстройка контуров фильтра, f_0 — резонансная частота контуров, ΔF_0 — полоса пропускания контура, отсчитанная на уровне 0,7; K_{cs} — коэффициент связи между контурами фильтра,

d — затухание контура.

Для случая оптимальной связи между контурами фильтра $K_{cs}=d$ и формула (2) примет вид:

$$\varphi = \operatorname{arc} \operatorname{tg} \frac{1 - \left(\frac{x}{\sqrt{2}}\right)^2}{x} \,. \tag{4}$$

В дальнейшем будем полагать, что

$$-\frac{f}{f_0} \approx 1.$$

Это допущение справедливо, если результирующая полоса пропускания усилителя мала по сравнению с частотой f_0 , на которую настроены контуры, а рассматриваемые расстройки соизмеримы с результирующей полосой пропускания. (Заметим, что наибольший интерес представляет та часть фазо-частотной характеристики, которая заключена в интервале частот, соизмеримом с полосой пропускания усилителя). В силу этого

$$x \approx \frac{2\Delta f}{\Delta F_0}.$$
(5)

Заметим также, что в случае оптимальной связи между контурами фильтра полоса пропускания фильтра равна [3]

$$\Delta F_1 = \sqrt{2.\Delta} F_0. \tag{6}$$

Найдем предельную форму фазо-частотной характеристики каскада при увеличении числа каскадов и поддержании заданной (постоянной) результирующей полосы пропускания. Для этого предварительно выразим полосу пропускания одного каскада (ΔF_1) через число каскадов (n) и полосу пропускания всего усилителя (ΔF_n).

Как известно, при достаточно большом n

$$\Delta F_1 = \Delta F_n \cdot \sqrt[4]{n} \cdot \frac{1}{\sqrt{\ln 2}}. \tag{7}$$

Подставляя (7) в (6) и затем в (5), получим:

$$x = \frac{2\sqrt{2}\sqrt[4]{\ln 2}}{\Delta F_n \cdot \sqrt[4]{n}} \Delta f. \tag{8}$$

Если нас интересует форма фазо-частотной характеристики в пределах лолосы пропускания (или при расстройках, соизмеримых с полосой пропускания) усилителя, то при достаточно большом $n \propto 1$, и формула (4) примет вид:

$$\varphi_1 \approx \operatorname{arctg} \frac{1}{x}.$$
(9)

Разлагая arc tg x в ряд и пренебрегая членами ряда, содержащими x в 3-й и более высоких степенях, получим

$$\varphi_1 \approx \frac{\pi}{2} - \Delta f. \tau_1, \qquad (10)$$

где

$$\tau_1 = \frac{2 \cdot 7^{-\frac{4}{3}} / \ln 2}{\Delta F_n \cdot \sqrt{n}} . \tag{11}$$

Как видим, фазо-частотная характеристика одного полосового каскада при увеличении n спрямляется и, вращаясь вокруг точки $\left(\varphi_1=\frac{\pi}{2};f=f_0\right)$, приближается к горизонтальной прямой, приподнятой на постоянный фазовый угол, равный $\frac{\pi}{2}$ (см. фиг. 1).

Рассмотрим теперь случай весьма слабой связи ($\eta \rightarrow 0$). Теоретически такой случай мог бы иметь место при беспредельном увеличении числа

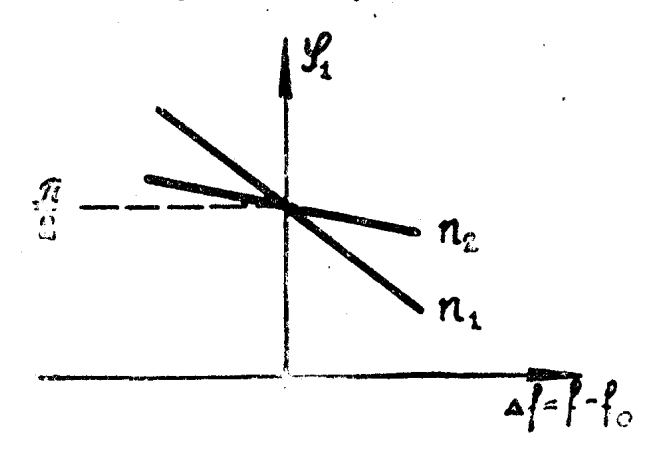
каскадов, но при поддержании неизменной результирующей полосы пропускания: при этом затухание d контура увеличивается по мере увеличения n, коэффициент же связи не может превысить $K_{cs\ max} = 1$; поэтому

$$\eta = \frac{K_{cs}}{d} \to 0.$$

B этом случае (см. формулу (2))

$$\varphi = \operatorname{arc tg} \frac{1 - x^2}{2x}. \tag{12}$$

Выразим приведенную расстройку x через полосу пропускания усилителя.



Фиг. 1. Фазо-частотная характеристика $\varphi_1(f)$ каскада многокаскадного полосового усилителя (в области малых расстроек).

$$n_2 > n_1 \gg 1$$

жак известно, в случае весьма слабой связи

$$\Delta F_0 = \Delta F_n \cdot \sqrt{n} \cdot \sqrt{\frac{2}{\ln 2}} . \tag{13}$$

Подставляя (13) в (5), имеем:

$$x = \frac{\sqrt{2\ln 2}}{\Delta F_n \cdot \sqrt{n}} \cdot \Delta f. \tag{14}$$

Если расстройки Δf соизмеримы с ΔF_n , то при весьма большом числе каскадов $x\ll 1$ и формула (12) примет вид

$$z \approx \text{arc tg} - \frac{1}{2x}. \tag{15}$$

Разлагая $\arctan x$ в гретьей степени, получим:

$$\varphi_1 \approx \frac{\pi}{2} - \Delta f. \tau_1, \tag{16}$$

$$\tau_1 = \frac{2 \sqrt{2 \ln 2}}{\Delta F_n \cdot \sqrt{n}}.$$

Таким образом, и в этом случае фазо-частотная характеристи- ка каскада при увеличении n спрямляется и, вращаясь вокруг точки

$$\left(z_1 = \frac{\pi}{2}; f = f_0\right)$$
, стремится к горизонтальному положению (фиг. 1).

Перейдем теперь к рассмотрению многокаскадного полосового усилителя.

Фазо-частотная характеристика многокаскадного полосового усилителя

Случай весьма слабой связи

Фазо-частотная характеристика n—каскадного усилителя (φ_n) в случае одинаковых каскадов может быть представлена в виде

$$\varphi_n = n \cdot \varphi_1. \tag{17}$$

Полагая n большим, получим из (16) и (17)

$$\varphi_n = n - \frac{\pi}{2} - \tau_n . \Delta f, \tag{18}$$

тде в случае весьма слабой связи

$$\tau_n = \frac{2\sqrt{2\ln 2} \sqrt{n}}{\Delta F_n}.$$
 (19)

Из формул (18) и (19) следует ряд выводов.

При достаточно большом n фазо-частотная характеристика близка к прямой линии. Точнее, участок фазочастотной характеристики, соответствующий обобщенным расстройкам $x \ll 1$, прямолинеен.

Фазо-частотная характеристика полосового усилителя содержит, наряду

с составляющей $\tau_n.\Delta f$, еще и постоянную составляющую $n = \frac{\pi}{2}$. Этим поло-

совой усилитель существенно отличается от резонансного усилителя, фазо-частотная характеристика которого не содержит постоянной составляющей и при $n \gg 1$ является прямой, проходящей через точку ($\varphi = 0$; $f = f_0$).

При увеличении числа каскадов фазо-частотная характеристика полосового усилителя становится круче и одновременно скачками приподнимается (см. фиг. 2). В пределе при $n \rightarrow \infty$, фазо-частотная характеристика

наклоняется к оси частот под углом $\frac{\pi}{2}$ и содержит постоянное слагаемое

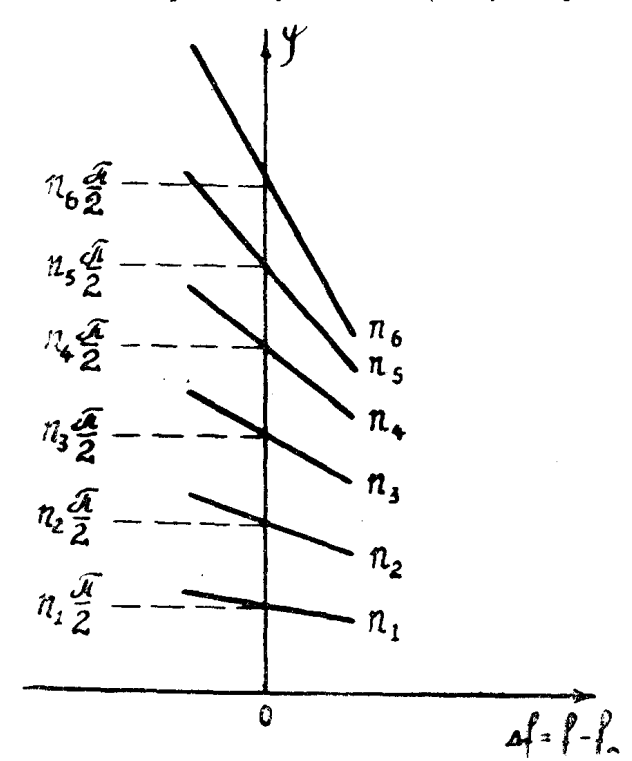
$$\left(\frac{\pi}{2}\right)$$
, принимающее бесконечное множество значений кратных $\frac{\pi}{2}$.

Можно показать, что амплитудно-частотная характеристика полосового усилителя при $n \rightarrow \infty$ и $\eta \rightarrow 0$ стремится к вполне определенному пределу:

$$e^{-\alpha_i \Delta f^2}$$
 (20)

Таким образом, зависимость между предельными амплитудно-частотной и фазо-частотной характеристиками многокаскадного полосового усилителя оказывается неоднозначной, причем одной амплитудно-частотной характеристике соответствует бесконечное множество фазо-частотных характеристик.

Однако в некоторых случаях бесконечное множество фазо-частотных характеристик возможно свести к конечному числу линий (например, в



Фиг. 2. Фазо-частотные характеристики $\varphi_n(f)$ многокаскадных полосовых усилителей (в области малых расстроек).

$$n_3 > n_2 > n_1$$

случае, когда фазовый угол входит в аргумент периодической функции). В самом деле, представив n ($n \gg 1$) в виде

$$n=4m+K$$

где m — целое, а K принимает четыре значения

$$K = 0;1;2;3,$$

запишем формулу (18) следующим образом:

$$\varphi_n \approx m \ 2\pi + K \frac{\pi}{2} - \tau_n \Delta f. \tag{21}$$

Если фазовый угол φ_n входит в аргумент некоторой периодической функции F, то

$$F(\varphi_n) = F(\varphi_n - m \cdot 2\pi),$$

и результат будет такой же, как если бы фазо-частотная характеристика имела вид

$$\varphi_{n}^{(*)} = K \frac{\pi}{2} - \tau_{n} \Delta f. \tag{22}$$

При увеличении числа каскадов крутизна фазо-частотной характеристики $\varphi_n^{(*)}$ увеличивается, а постоянный фазовый сдвиг принимает значения

$$0; \frac{\pi}{2}; \pi; \frac{3}{2} \pi, \tag{23}$$

затем снова $0, \frac{\pi}{2}$ и т. д. (фиг. 3). Таким образом, фазо-частотные характеристики разобьются на 4 группы, в пределе при $n \to \infty$ фазо-частотная характеристика будет принимать 4 значения:

$$\varphi_{n}^{(*)} = \begin{cases} -\tau_{n} \cdot \Delta f \\ \frac{\pi}{2} - \tau_{n} \cdot \Delta f \\ \pi - \tau_{n} \cdot \Delta f \end{cases} (\tau_{n} \to \infty)$$

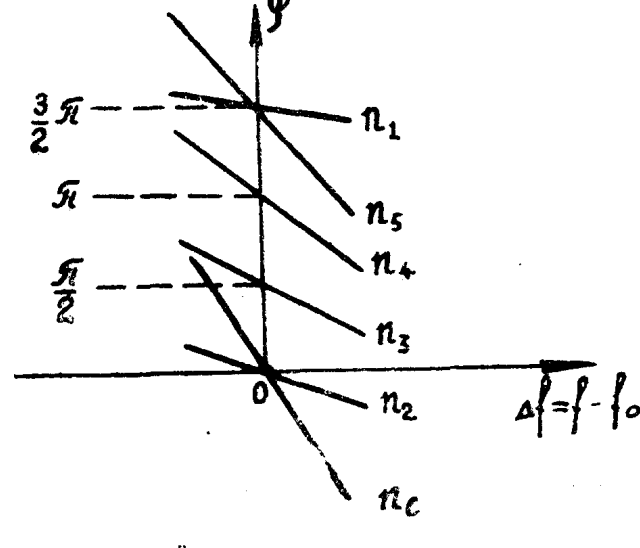
$$\frac{3}{2} \pi - \tau_{n} \cdot \Delta f$$
(24)

Анализируя, например, прохождение импульсного сигнала через полосовой радиофильтр с амплитудно-частотной характеристикой

$$y=e^{-\alpha_1\Delta f^2},$$

необходимо рассмотреть 4 частных случая, отличающихся друг от друга различной величиной постоянной составляющей фазо-частотной характеристики.

Напомним, что при анализе прохождения импульсного сигнала через многокаскадный резонансный усилитель этого осложнения нет, вследствие



Фиг. 3. Фазо-частотные характеристики $\varphi_n(*)(f)$ многокаскалных полосовых усилителей (в области малых расстроек).

$$n_6 > n_5 > ... > n_1$$

однозначной зависимости между предельными амплитудно-частотной и фазо-частотной характеристиками многокаскадного резонансного усилителя. Заметим, что величина постоянного фазового сдвига скажется лишь на смещении во времени высокочастотного заполнения, а на форме огибающей сигнала не скажется.

Случай оптимальной связи

Фазо-частотная характеристика n — каскадного полосового усилителя в случае одинаковых каскадов и оптимальной связи между контурами фильтра может быть представлена в виде (см. (17), (10) и (11)):

$$\varphi_n = n \frac{\pi}{2} - \tau_n . \Delta f, \tag{25}$$

где

$$\tau_n = -\frac{2\sqrt{2.\sqrt[4]{\ln 2}} \cdot n^{\frac{3}{4}}}{\Delta F_n}.$$
 (26)

Следовательно, при увеличении числа каскадов фазо-частотная характеристика спрямляется, становится круче и одновременно скачками приподнимается (фиг. 2).

Этот случай ($\eta = 1$) отличается от предыдущего только тем, что при одной и той же полосе пропускания и одном и том же числе каскадов крутизна фазо-частотной характеристики в случае оптимальной связи будет больше, чем в случае весьма слабой связи (см. (26) и (19)).

Иногда например, когда фазовый угол входит в аргумент периодической функции, семейство характеристик (25) может быть представлено в виде четырех групп (см. (21)—(23)).

где m — целое число, а τ_n определяется по формуле (26). Оптимальная связь теоретически осуществима при $n < n_{max}$, где n_{max} - целая часть

$$\left\{ \left(\frac{f_0}{\Delta F_n}\right)^4 . 4 . \ln 2 \right\}.$$

Обычно $n_{max} \gg 1$, поэтому амплитудно-частотная характеристика рассматриваемого усилителя при числе каскадов, равном n_{max} , будет весьма мало отличаться от кривой

$$v = e^{-\beta \Delta f^4} . ag{28}$$

Формула (28) получается при переходе к $n \to \infty$.

Хотя переход к $n > n_{max}$ не оправдан физически, однако функция (28) хорошо апроксимирует амплитудно-частотные характеристики многокаскадных полосовых усилителей этого вида. Но апроксимируя амплитудно-частотную характеристику усилителя функцией (28), необходимо найти соответствующую ей фазо-частотную характеристику. Для этого следует в (27) также перейти к $n \to \infty$.

Итак, приходим к тем же выводам, что и в предыдущем случае. В частности зависимость между амплитудно-частотной характеристикой, представленной в виде (28) и соответствующей ей фазо-частотной характеристикой, оказывается неодназначной: одной амплитудно-частотной характеристике соответствует бесконечное множество фазо-частотных характеристик; однако в некоторых случаях бесконечное множество фазо-частотных характеристик возможно свести к конечному числу линий.

Выводы

- 1. Фазо-частотная характеристика многокаскадного полосового усилителя линейна в пределах малых обобщенных расстроек и, кроме составляющей— $\tau_n \Delta f$, содержит постоянную составляющую $\left(n, \frac{\pi}{2}\right)$.
- 2. Предельная фазо-частотная характеристика рассмотренного много-каскадного полосового усилителя линейна и наклонена под углом $\frac{\pi}{2}$ к оси частот.

3. Сопоставляя полученный результат с данными, приведенными в работах Сифорова, Белоусова и других авторов, можно заключить, что предельным амплитудно-частотным характеристикам соответствуют линейные ϕ азо-частотные характеристики, наклоненные под углом $\frac{\pi}{2}$ к оси частот.

ЛИТЕРАТУРА

Харкевич А. А. Теория электроакустических аппаратов Связьиздат, 1939.
 Белоусов А. П. Радиотехника, № 6, 1946.
 Сифоров В. И. Радиоприемные устройства. ЛКВВИА, 1947.
 Чистяков Н. И. Резонансные усилители и предварительные селекторы. Связь-